

SOMNOtouch™ NIBP

Mesure de la pression artérielle sur 24 heures
+ ECG de longue durée
+ Oxymétrie



Tout en un

efficace, confortable, innovant

Mesure de la pression artérielle continue et non invasive sans brassard

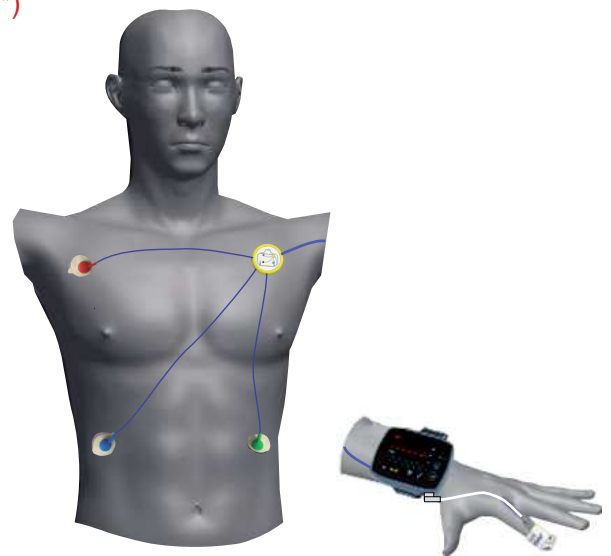
- Pression artérielle syst./diast. (mmHg) - battement par battement
- Application simple et confort maximum pour le patient grâce à l'enregistrement sans gonflement du brassard (basé sur le PTT* - validé cliniquement**)
- Activité et position corporelle (pour la détection sommeil/éveil)

ECG de longue durée

- ECG à 3 canaux
- Rapport ECG
- Rapport du stress basé sur la VRC
- Export des données brutes sous différents formats

Oxymétrie

- Oxymétrie de pouls sur le doigt
- Rapport d'oxymétrie
- Optionnel: possibilité de mesurer le débit et le ronflement



Contrôle des signaux en ligne sur tablette ou téléphone portable

MobileCheck

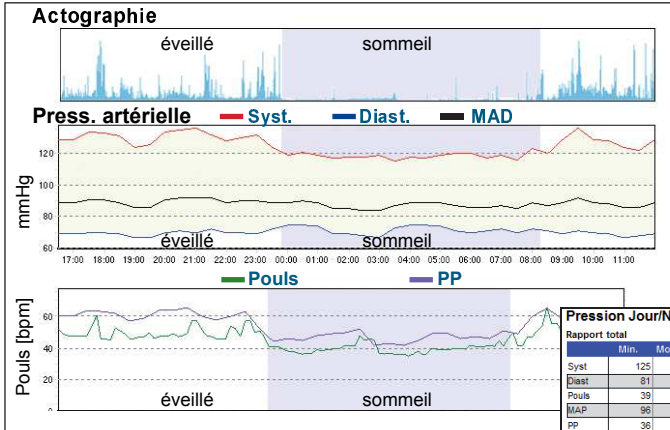
Transfert d'une capture d'écran des données vers tablette ou téléphone portable pour un contrôle instantané des signaux - où que vous soyez.

Temps et intervalles de transfert sont librement programmables.



L'analyse des données et rapport

Rapport de la pression artérielle



Pression Jour/Nuit

	Min.	Moyen	Max.	SD	> Limite
Syst	125	148	240	15,0	77,9 %
Diast	81	95	119	6,1	79,2 %
Pouls	39	75	176	30,3	35 %
MAP	96	113	157	8,7	79,7 %
PP	36	53	126	10,3	22,1 %

Jour/Nuit Abaissement

Syst	9,7 %
Diast	8,2 %
Drivile	84,5 %
MAP	8,5 %
PP	12,5 %

Rapport du jour

	Min.	Moyen	Max.	SD	> Limite
Syst	125	154	240	15,6	68,7 %
Diast	81	98	119	5,8	70,6 %
Pouls	45	89	176	27,9	49,1 %
MAP	96	117	157	8,6	71,2 %
PP	36	56	126	11,4	15,7 %

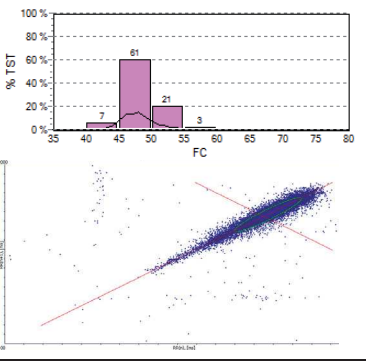
Limite: Syst=140, Diast=90, Pouls=60, MAP=100, PP=60

Rapport de la nuit

	Min.	Moyen	Max.	SD	> Limite
Syst	127	139	171	5,3	97,8 %

FC

	Sommeil	Eveil
Acc. (Index)	63 (8,4)	-
Dec. (Index)	72 (9,6)	-
Arrhythmie (Index)	79 (10,6)	-
FC Maximum (bpm)	101 (07:56:54)	-
FC Minimum (bpm)	39 (05:48:45)	-
FC moyenne (bpm)	49	-



Intervalle RR

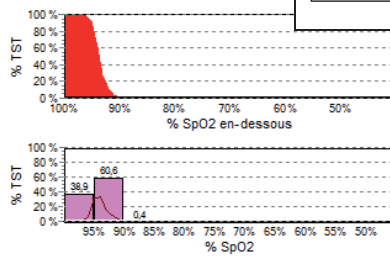
Moyen (ms)	1218,2
RR SD (ms)	215,45
Max. RR (ms)	1855
Min. RR (ms)	250
SD1 (ms)	83,15
SD2 (ms)	174,38
SD1 / SD2	0,48

Rapport ECG

- Rapport du stress basé sur la VRC
- Détection des arythmies

Saturation O2

	Nombre (Index)	Temps
Nombre de désaturations	52 (6,9)	
Minimal SpO2 (%)	85	05:48:23
Saturation O2 base	94	
SpO2 moyenne	94	
Nombre < 90 %	16	1,8 %
Nombre < 80 %	-	0,0 %
Temps < 90 %	0,4 %	00:02:02
Désaturation la plus forte (%)	9	02:42:40
Désaturation moyen [%]	5,6	26,5 s
Désaturation la plus longue (s)	67,0	04:36:22
Désaturation min moyenne	90	
Désaturation la plus forte(%)	86	02:43:03
Totale des Désat.	00:22:56	5,0 %
Dec. SpO2 moyenne (s)	-	
Artefact (min)	1,2 (0,3%)	



Rapport d'oxymétrie

- Enregistrement de la saturation en oxygène dans le sang et corrélation des désaturations avec l'hypertension
- Preuves des changements de la pression artérielle d'origine respiratoire (optionnel)

L'aperçu SOMNOtouch™ NIBP

6 canaux internes (position corporelle, mouvement, SpO₂, pouls, pléthysmographie, marqueur patient)
2 AUX (jusqu'à 8 canaux par connexion AUX (p.ex. ECG à trois canaux, flux, ronflement, calibrage de la pression artérielle))

Transfert des données via Bluetooth; sans fil et en temps réel
Résolution de 12 bits
Fréquence d'enregistrement librement programmable de 4/s à 256/s

Mémoire interne d'une capacité de 512 MB
Chargement de la batterie et transfert des données via la dockingstation

75 x 55x16 mm, 58 g (batterie incluse)

Ecran tactile de haute définition en couleur, résolution 320 x 240 px

Batterie Li-Ion (rechargeable), jusqu'à 24 heures d'enregistrement

* Gesche, H., et al., Continuous blood pressure measurement by using the pulse transit time. European journal of applied physiology, 2011
Bartsch, S., et al., Validation of continuous blood pressure measurements by pulse transit time. Dtsch Med Wochenschr, 2010. 135(48): p. 2406-12

** Numéros de brevet: DE 102005014048.3-35, EP 20060001181.4-1526, US 11/364 174 US 2006/0217616 A1, 7374542

*** Dick, R., et al., AASM standards of practice compliant validation [...] Physiological measurement, 2010. 31(12): p. 1623-33